

# Moleküldynamik

Quellen: Thijssen, Kap. 7.1, 8

Def: Simulation der Dynamik eines Systems  
klassischer Teilchen

## Physikalische Fragestellung

•  $N$  Teilchen mit Positionen  $\vec{r}_i = \vec{r}_i(t) \in \mathbb{R}^3$

Geschwindigkeiten  $\vec{v}_i = \dot{\vec{r}}_i$

Impulsen  $\vec{p}_i = m_i \vec{v}_i$

Massen  $m_i$

Ladungen  $q_i$

$i = 1, \dots, N$

• Die Bahn jedes Teilchens wird durch die

Newton - Gleichung bestimmt

$$m_i \ddot{\vec{r}}_i = \vec{F}_i$$

Summe aller Kräfte, die auf Teilchen  $i$  wirken

$$\vec{F}_i = \vec{F}_i(\{\vec{r}_j\}, \{\vec{v}_j\}, t) = \vec{F}_i^{(a)} + \vec{F}_i^{(w)}$$

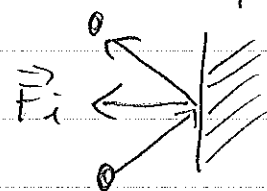
- Äußere Kräfte (hängen nicht von den anderen Teilchen ab)

$$\vec{F}_i^{(a)} = \vec{F}_i(\vec{r}_i, \vec{v}_i, t)$$

Beispiele: - Schwerkraft  $\vec{F}_i = -m_i \vec{g}$

- Lorentz - Kraft  $\vec{F}_i = q_i [\vec{E}(\vec{r}_i, t) + \vec{v}_i \times \vec{B}(\vec{r}_i, t)]$

- Reibungskraft  $\vec{F}_i = -\gamma f(|\vec{v}_i|) \vec{v}_i$

- Harte Wand 

- Zwangskräfte

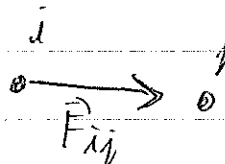
- Zufallskräfte (Langevin - Dynamik  
 $\Rightarrow$  Brownsche Bewegung)

# Wechselwirkungen

## Übliche Annahmen

- Zweikörperkräfte  $\vec{F}_i^W = \sum_{\substack{j=1 \\ j \neq i}}^N \vec{F}_{ij}$

$\vec{F}_{ij}$  = Kraft, die Teilchen  $j$  auf Teilchen  $i$  übt



Aktio  $\equiv$  Reaktio  $\Rightarrow \vec{F}_{ij} = -\vec{F}_{ji}$

- Unabhängig von Zeit und Geschwindigkeit

$\Rightarrow \vec{F}_{ij} = \vec{F}_{ij}(\vec{r}_i, \vec{r}_j)$

- Zentrale Kräfte  $\Rightarrow \vec{F}_{ij} \parallel \vec{r}_j - \vec{r}_i$

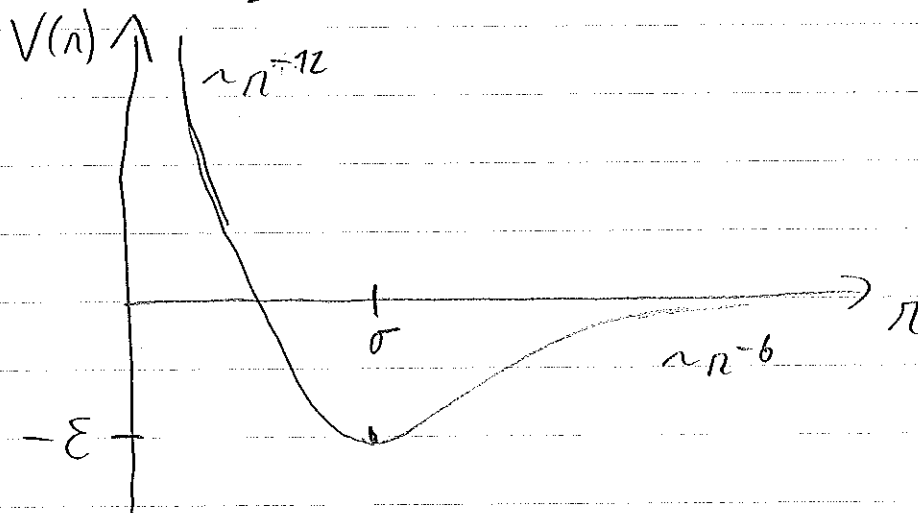
- Konservative Kräfte :

$\Rightarrow \vec{F}_{ij} = -\vec{\nabla}_i V_{ij}$

Beispiele:

- Lennard-Jones-Potential  $V_{ij}(\vec{r}_i, \vec{r}_j) = V(|\vec{r}_i - \vec{r}_j|)$

$$V(r) = \varepsilon \left[ \left( \frac{\sigma}{r} \right)^{12} - 2 \left( \frac{\sigma}{r} \right)^6 \right]$$



Potential zwischen neutralen Molekülen

→ Simulationen von Gasen, Flüssigkeiten und festen Phasen

- Coulomb-Potential

$$V_{ij}(\vec{r}_i, \vec{r}_j) = \frac{q_i q_j}{4\pi\epsilon_0 |\vec{r}_i - \vec{r}_j|}$$

Simulation von Plasma, Elektrolyten

- Gravitationskraft

$$V_{ij}(\vec{r}_i, \vec{r}_j) = -G \frac{m_i m_j}{|\vec{r}_i - \vec{r}_j|}$$

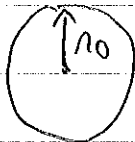
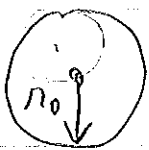
Simulationen von Planetensystemen und  
Galaxien in der Astrophysik

(wenn relativistische Effekte vernachlässigbar sind)

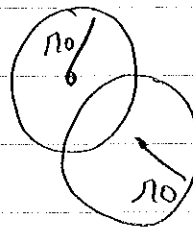
- Kugel mit einem harten Kern  
(hard-core particles)

1. MD-Simulation  
überhaupt (1957)

$$V(r) = \begin{cases} \infty & r < 2r_0 \\ 0 & r > 2r_0 \end{cases}$$



$$V = 0$$



$$V = \infty$$

$\Rightarrow$  Elastischer Stoß bei  $|\vec{r}_i - \vec{r}_j| = 2r_0$

# - Harmonisches Potential

$$V_{ij}(\vec{r}_i, \vec{r}_j) = \frac{1}{2} K_{ij} (\vec{r}_i - \vec{r}_j)^2$$

mit Federkonstanten  $K_{ij} = K_{ji}$

Simulationen von Schwingungen in Molekülen,  
Festkörpern, Maschinen, Gebäuden, Fahrzeugen, Erdbeben  
(→ Erdbeben)

Grundidee: System von gekoppelten Oszillatoren

+ äußere (periodische) Kräfte

+ Reibungskräfte

Frage:  $\begin{cases} \text{Dämpfung} \equiv \text{Stabilität} \\ \text{oder} \\ \text{Resonanz} \equiv \text{Zerstörung} \end{cases}$

Sehr wichtig in der Praxis (Industrie, Medizin, ...)

# Ziele

## I) Visualisierung

- der Bahnen  $\vec{r}_i(t)$  für kurze Zeit und kleine Teilchenzahl, z.B. Brownsche Bewegung
- der Observablen  $A(t) = A(\{\vec{r}_i\}, \{\vec{v}_i\}, t)$  wie kinetische Energie, potentielle Energie
- der statistischen Verteilungen wie Ortsverteilung (Dichte) oder Geschwindigkeitsverteilung

## II) Zeitmittelung der Observablen und Verteilungen

$$\bar{A} = \frac{1}{T} \int_0^T A(t) dt$$

- im thermodynamischen Gleichgewicht

z.B. Druck, Temperatur

$\Rightarrow$  Zustandsgleichungen

Ensemble-Simulation

- Außerhalb des Gleichgewichts

z.B. Transport (Wärmestrom, ...)

oder Streben ins Gleichgewicht  
(Dämpfung, Relaxation, Entropienahme, ...)

## Mathematische Aufgabe

$3N$ -dimensionale gewöhnliche Differentialgleichung  
2. Ordnung



$6N$ -dim. G D G 1. Ordnung

$$m_i \dot{\vec{v}}_i = \vec{F}_i(\{\vec{r}_j\}, \vec{v}_i, t)$$

$$\dot{\vec{r}}_i = \vec{v}_i$$

+ Berechnungen der Observablen und stat. Verteilungen



## Allgemeine Anmerkungen

1) Praktisches Problem: Visualisierung der Dynamik auf dem Computer

2) Randbedingungen: Simulation eines endlichen Volumen

- Geschlossenes System (z.B. Gas im Behälter)

- harte Wand

- elastische Wand

- periodische Randbedingungen

- Offenes System

- schwaches harmonisches Potential

- Schwerpunktbezugssystem

3) Initialisierung ( $\equiv$  Anfangsbedingungen)

$$\vec{r}_i(t=0), \vec{v}_i(t=0) = ? \quad \forall i=1, \dots, N$$

Die optimalen Anfangsbedingungen hängen vom Problem ab:

- deterministische Berechnungen
- Ensemble-Berechnungen

z.B. Zufällige Positionen und Geschwindigkeiten  
gem. Maxwell-Boltzmann-Verteilung

#### 4) Teilchenzahl

Ein Kubikzentimeter Materie enthält  $\sim 10^{22}$  Moleküle

Grösste Simulationen (1997)  $N \sim 10^9 \ll 10^{22}$

Folgerungen:

- Fluktuationen  $\sim \frac{1}{\sqrt{N}}$  in Ensemble-Berechnungen  
sind vernachlässigbar für  $N = 10^{22}$  aber  
nicht für  $N = 10^9$
- "Finite-size scaling" ist erforderlich  
(Berechnung für mehrere  $N$  und  
Extrapolation für  $N \rightarrow \infty$ )

## 5) Rechenaufwand

Warum nur  $N \leq 10^9$  ?

Rechenaufwand für einen Zeitschritt  $\sim N^2$   
(Berechnung aller Kräfte  $\vec{F}_{ij}$ )

Im Fokus der Forschung: Entwicklung  
linearer Methoden (Rechenaufwand  $\sim N$ )

## 6) Zeitdiskretisierung

Zeitskala der molekularen Bewegung  $\approx \mu\text{s} \approx 10^{-12} \text{ s}$

Zeitschritt  $\Delta t \ll 10^{-12} \text{ s}$ , z.B.  $10^{-14} \text{ s}$

Zeitskala eines physikalischen Prozesses  $T \geq \mu\text{s}$

$$\Rightarrow \frac{T}{\Delta t} \approx 10^8 \text{ Zeitschritte}$$

In anderen Gebieten (z.B. Astrophysik) herrschen  
andere Zeitskalen aber ähnliche Probleme treten  
auf.